

Research Paper

Design and Fabrication of Flexible Graphene Electrode with Visible Laser¹

Hedieh Pazokian², Maryam Bahreini³, Fateme Rajabi⁴

Received: 2025.01.01

Revised: 2025.03.14

Accepted: 2025.04.19

1. Introduction

Since the discovery of graphene and its electrical and mechanical potentials about 10 years ago, many efforts have been made to use it in future technologies. Graphene is carbon atoms in a honeycomb network in a layer one atom thick, which, due to its extraordinary properties, can be used in many applications such as making electrodes, sensors, transistors, and many other things. On the other hand, with the advancement of technology, the use of flexible devices and miniaturization in various industries, including wearable devices and biosensors, has received much attention.

The laser-induced graphene method has been proposed since 2014 for creating graphene on thin polymer films. The laser used in this process was a carbon dioxide laser with a wavelength of 10.6 μm. In this method, flexible polymer films containing carbon rings, especially polyimide, are irradiated using a laser under specific irradiation conditions, and thus, a porous graphene layer is created in the irradiated areas. This layer has unique properties for making electrodes used in sensors, supercapacitors, etc.

Due to the processes involved in laser-induced graphene, lasers with different wavelengths, from visible and ultraviolet to infrared, are capable of creating graphene. However, the quality and process of creating graphene are different. In this paper, the formation of graphene electrodes on polyimide polymer using laser irradiation with a wavelength of 445 nm is investigated. The effect of various irradiation parameters, including laser power, the overlap of the irradiated lines, and the laser scanning speed on the formation of graphene on

¹ <https://doi.org/10.22051/ijap.2025.49195.1442>

² Associate Professor, Photonics and quantum technologies research school, Nuclear science and technology research institute, Tehran, Iran. (Corresponding Author) Email: hpazokian@aeoi.org.ir

³ Assistant Professor, Physics department, Iran university of science and technology, Tehran, Iran. Email: m.bahreini@iust.ac.ir

⁴ Student, Physics department, Iran university of science and technology, Tehran, Iran. Email: fatemeh.rajabi7979@gmail.com



the polyimide sample, is investigated, and the optimal irradiation conditions for electrode formation are investigated.

2. Methodology

Polyimide films with a thickness of 60 microns were used to make the electrode. The sample was fixed on a microscope slide using a substrate and cleaned using ethanol. Then, it was irradiated under different conditions using a diode laser with a wavelength of 445 nm, which was placed on a moving table with the ability to move in the X and Y directions. After irradiation, the samples were examined using Raman spectroscopy and electron microscopy to examine chemical and morphological changes. The resistance of the samples after irradiation was measured using a multimeter.

3. Results and Discussion

The polyimide film is completely non-conductive before irradiation, and its resistance is more than 90 megaohms per square centimeter. By irradiating the sample with a power of 1 watt with different overlapping the laser irradiated lines, no change in the resistance of the sample is observed. However, by increasing the laser power to 1.5 watts, the resistance of the sample decreases sharply and reaches about 700 ohms. The amount of this reduction depends on the amount of overlap between the laser lines and is greater for higher overlap. Increasing the number of laser lines to 20 lines per inch causes a 100-ohm decrease in the resistance of the sample. Further increase in the laser power causes a further decrease in the resistance, and it reaches about 230 ohms. As the overlap amount increases further, the resistance first increases somewhat and then decreases. The decrease in resistance with increasing power is not continuous, and with increasing power to 2 watts, the sample resistance starts to increase and then decreases with increasing overlap. But the resistance changes at this power are much greater, around 900 ohms. This indicates the importance of laser power as a fundamental parameter in reducing the sample resistance.

On the other hand, the changes in the sample resistance also depend on the scanning speed. Although at first glance, at higher powers, the sample resistance can be reduced by increasing the scanning speed, this reduction in resistance with scanning velocity does not show the same behavior at different powers. For example, at a constant speed of 7 mm/s, irradiating the sample with higher powers leads to a reduction of 120 ohms in the sample resistance, while at a power of about 10% lower, the sample resistance is about 600 ohms. As the scanning speed increases, the resistance of the sample irradiated with 1.75 W decreases, but the resistance of the sample irradiated with lower power increases. This trend of resistance change with scanning speed continues up to about 14 mm/s and reverses at higher speeds. The differences in morphology on the surface at different powers and the increase in the

threshold power required to create graphene on the surface with increasing scan speed are the reasons for this different behavior.

In this study, the minimum resistance obtained by adjusting the irradiation parameters is about 80 ohms, which is related to the sample irradiated at the laser power of 2 W with a scanning velocity of 15 mm/s and 200 lines per inch. This resistance is sufficient to make electrodes used in energy storage devices and sensors and has a very low production cost. On the other hand, the results of this study show that changes in the morphology of the electrode surface, which is another important parameter in the performance of the electrode, can behave differently with changes in electrical resistance under different irradiation conditions. The SEM images of the irradiated surfaces show that the surface of the samples irradiated at 1.5 W and 2 W has a different porous structure compared to the sample irradiated at 1.75 W. However, the resistance of the sample irradiated at 1.75 W is lower than the other two samples. These changes have a great impact on the performance of the electrode, and therefore, the choice of irradiation conditions and the competition between these two parameters will be very important according to the desired application.

4. Conclusion

In this paper, graphene electrodes were created using the laser-induced graphene by a 445 nm laser on a polyimide polymer film. The polyimide film was irradiated using the laser under different irradiation conditions. The minimum resistance obtained by changing the laser power, the overlap of the irradiated lines (the number of lines per inch of a fixed area of the sample), and the scanning speed was 80 ohms. On the other hand, the change in the surface morphology of the sample, which is an important factor for electrode effective surface area, does not necessarily happen for the sample with the lowest electrical resistance. Therefore, the optimization of each factor for the intended application is essential.

Keywords: *Laser Induction, Graphene Electrode, Polyimide, Visible Laser.*

References

- [1] Li, X., Yu, J., Wageh, S., Al-Ghamdi, A.A. and Xie, J., "Graphene in photocatalysis: a review," *Small*, 12(48), 6640-6696, 2016. <https://doi.org/10.1002/smll.201600382>.
- [2] Stoller, M.D., Park, S., Zhu, Y., An, J. and Ruoff, R.S., "Graphene-based ultracapacitors," *Nano letters*, 8(10), 3498-3502, 2008. <https://doi.org/10.1021/nl802558y>.
- [3] Berry, V., "Impermeability of graphene and its applications," *Carbon*, 62, 1-10, 2013. <https://doi.org/10.1016/j.carbon.2013.05.052>.



- [4] Zhang, Z., Zhu, H., Zhang, W., Zhang, Z., Lu, J., Xu, K., Liu, Y., and Saetang, V., "A review of laser-induced graphene: From experimental and theoretical fabrication processes to emerging applications," *Carbon*, 214, 118356, 2023. <https://doi.org/10.1016/j.carbon.2023.118356>.
- [5] Avinash, K. and Patolsky, F., "Laser-induced graphene structures: From synthesis and applications to future prospects," *Materials Today*, 70, 104-136, 2023. <https://doi.org/10.1016/j.mattod.2023.10.009>.
- [6] Thaweekulchai, T., Sakdaphetsiri, K., and Schulte, A., "Ten years of laser-induced graphene: Impact and future prospect on biomedical, healthcare, and wearable technology," *Microchimica Acta*, 191, 292, 2024. <https://doi.org/10.1007/s00604-024-06350-z>.
- [7] Tan, R. K. L., Reeves, S. P., Hashemi, N., Thomas, D. G., Kavak, E., Montazami, R., and Hashemi, N. N., "Graphene as a flexible electrode: review of fabrication approaches," *Journal of Materials Chemistry A*, 5, 17777-17803, 2017. <https://doi.org/10.1039/C7TA05759H>.
- [8] Burke, M., Larrigy, C., Vaughan, E., Paterakis, G., Sygellou, L., Quinn, A. J., Herzog, G. g., Galiotis, C., and Iacopino, D., "Fabrication and electrochemical properties of three-dimensional (3D) porous graphitic and graphenelike electrodes obtained by low-cost direct laser writing methods," *ACS omega*, 5, 1540-1548, 2020. <https://doi/full/10.1021/acsomega.9b03418>.
- [9] Yoon, H., Nah, J., Kim, H., Ko, S., Sharifuzzaman, M., Barman, S. C., Xuan, X., Kim, J., and Park, J. Y., "A chemically modified laser-induced porous graphene based flexible and ultrasensitive electrochemical biosensor for sweat glucose detection," *Sensors and Actuators B: Chemical*, 311, 127866, 2020. <https://doi.org/10.1016/j.snb.2020.127866>.
- [10] Raccichini, R., Varzi, A., Wei, D., and Passerini, S., "Critical insight into the relentless progression toward graphene and graphene-containing materials for lithium-ion battery anodes," *Advanced materials*, 29(11), 1603421, 2017. <https://doi.org/10.1002/adma.201603421>.
- [11] Wang, L., Wang, Z., Bakhtiyari, A. N., and Zheng, H., "A comparative study of laser-induced graphene by CO₂ infrared laser and 355 nm ultraviolet (UV) laser," *Micromachines*, 11(12), 1094, 2020. <https://doi.org/10.3390/mi11121094>.
- [12] Lin, J., Peng, Z., Liu, Y., Ruiz-Zepeda, F., Ye, R., Samuel, E. L., Yacaman, M. J., Yakobson, B. I., and Tour, J. M., "Laser-induced porous graphene films from commercial polymers," *Nature communications*, 5(1), 5714, 2014. <https://doi.org/10.1038/ncomms6714>.
- [13] Chyan, Y., Cohen, J., Wang, W., Zhang, C., and Tour, J. M., "Graphene Art," *ACS Applied Nano Materials*, 2(5), 3007-3011, 2019. <https://doi/abs/10.1021/acsanm.9b00391>.
- [14] Han, X., Ye, R., Chyan, Y., Wang, T., Zhang, C., Shi, L., Zhang, T., Zhao, Y., and Tour, J. M., "Laser-Induced Graphene from Wood Impregnated with Metal Salts and Use in Electrocatalysis," *ACS Applied Nano Materials*, 1(9), 5053-5061, 2018. <https://doi/abs/10.1021/acsanm.8b01163>.

<https://jap.alzahra.ac.ir>



- [15] Shokurov, A. V. and Menon, C ",.Laser-Induced Graphene Electrodes for Electrochemistry Education and Research," ed: ACS Publications, 2023. <https://doi.org/10.1021/acs.jchemed.2c01237>.
- [16] Mulser, P. and Bauer, D., "High power laser-matter interaction", *Springer Science & Business Media*, 238, 2010. 10.1007/978-3-540-46065-7.
- [17] Yin, J., Yang, L., Yang, X., Zhu, H., Wang, D., Ke, L., Wang, Z., Wang, G., and Zeng, X., "High-power laser-matter interaction during laser powder bed fusion," *Additive Manufacturing*, 29, 100778, 2019. <https://doi.org/10.1016/j.addma.2019.100778>.
- [18] Kumar, A., Pathak, A., Kumar, A., and Kumar, A., "Physics of laser-matter interaction in laser-based manufacturing," in *Laser-based technologies for sustainable manufacturing*, ed: CRC Press, 45-54, 2023 .
- [19] Malik, H. K., *Laser-matter interaction for radiation and energy*: CRC press, 2021. <https://doi.org/10.1201/b21799>.
- [20] Dreyfus, R., "CN temperatures above laser ablated polyimide," *Applied Physics A*, 55, 335-339, 1992. <https://doi.org/10.1007/BF00324081>.



This article is an open-access article distributed under the terms and conditions of the Creative Commons Attribution-Noncommercial 4.0 International (CC BY-NC 4.0 license) (<http://creativecommons.org/licenses/by-nc/4.0/>).



طراحی و ساخت الکترودهای انعطاف‌پذیر گرافنی با تابش لیزر مرئی^۱

هدیه پازکیان^{۲*}، موبین بحرینی^۳ و فاطمه رجبی^۴

تاریخ دریافت: ۱۴۰۳/۱۰/۱۲

فصلنامه علمی فیزیک کاربردی ایران

تاریخ بازنگری: ۱۴۰۳/۱۲/۲۴

دانشکده فیزیک، دانشگاه الزهرا

تاریخ پذیرش: ۱۴۰۴/۰۱/۳۰

سال پانزدهم، پیاپی ۴۱، تابستان ۱۴۰۴

صفحه ۹۶ - ۸۵

چکیده:

در این مقاله ساخت الکترود گرافنی بر روی فیلم پلی ایمید با پدیده القای لیزری گرافن مورد بررسی قرار گرفت. برای این منظور از لیزر مرئی با طول موج ۴۶۵ نانومتر برای ایجاد گرافن در سطح استفاده شد. تشکیل گرافن بر روی سطح پس از تابش با استفاده از طیف سنجی رامان و پراش اشعه ایکس نمونه تایید شده مورد آزمایش قرار گرفت. یک موئی متر الکتریکی و یک میکروسکوپ الکترونی روشی برای بررسی اثر کمیت‌های تابش مانند توان لیزر، همپوشانی خطوط تابش داده شده با لیزر و سرعت پایش لیزر، به ترتیب بر مقاومت الکتریکی و ریخت‌شناسی سطح استفاده شد. نتایج نشان‌دهنده تشکیل گرافن متخلخل با ساختارهای مختلف بر روی سطح با استفاده از فرآیند القای لیزری گرافن است. کمینه مقاومت الکتریکی ۱۰ اهم با شرایط تابش مشخص بادست آمد. با این حال، از آتجایی که ریخت‌شناسی سطح کمیت مهمی بر کیفیت الکترودها در بسیاری از کاربردها چون دستگاه‌های ذخیره‌ساز انرژی است، و با توجه به نتایج این پژوهش، باید شرایط تابش را برای ایجاد الکترود با توجه به کاربرد مورد نظر بهینه کرد.

واژگان کلیدی: القای لیزری، الکترود گرافنی، پلی ایمید، لیزر مرئی.

^۱ <https://doi.org/10.22051/ijap.2025.49195.1442>

^۲ دانشجوی دکتری، دانشکده فیزیک و فناوری‌های کوانتومی، پژوهشگاه علوم و فنون هسته‌ای، تهران، ایران. (نویسنده مسئول)
Email: hpazokian@aeoi.org.ir

^۳ استادیار، دانشکده فیزیک، دانشگاه علم و صنعت ایران، تهران، ایران.
Email: m.bahreini@iust.ac.ir

^۴ دانشجوی دکتری، دانشکده فیزیک، دانشگاه علم و صنعت ایران، تهران، ایران.
Email: fatemeh.rajabii7979@gmail.com



۱. مقدمه

از زمان کشف گرافن و پتانسیل‌های الکتریکی و مکانیکی آن از حدود ۱۰ سال پیش تلاش‌های زیادی برای استفاده از آن در فناوری‌های آینده شده است [۱-۶]. گرافن در حقیقت اتم‌های کربن در یک شبکه لانه زنبوری در لایه‌ای به ضخامت یک اتم است که با توجه به ویژگی‌های شکر، توانایی استفاده در بسیاری از کاربردها مثل ساخت الکترودها، حسگرها، ترانزیستورها و بسیاری موارد دیگر را دارد [۷-۹]. از طرفی با پیشرفت فناوری استفاده از ابزارهای انعطاف‌پذیر و نیز کوچک‌سازی در صنایع مختلف از جمله ابزارهای پوشیدنی و حسگرها زیستی بسیار مورد توجه قرار گرفته است. گرافن به دلیل ویژگی‌های الکتریکی و مکانیکی خارق‌العاده و همچنین با توجه به ابعاد آن پتانسیل زیادی برای ساخت الکترودها در چینی کاربردهایی دارد. استفاده از گرافن در حسگرها حرکت، زیستی و حسگرها گاز بارها گزارش شده است. باتری‌ها مثال مهم دیگری برای استفاده از گرافن هستند و پیش‌بینی شده است که گرافن بتواند در آینده جایگزین مناسبی برای باتری‌های لیتیوم یونی باشد [۱۰].

امروزه روش‌های مختلفی برای تولید گرافن وجود دارد. اگرچه، به صورت کلی چهار روش برای ساخت الکترودهای گرافنی انعطاف‌پذیر ارائه شده است. این روش‌ها شامل روش سنتز آلی، لایه-برداری اکسید گرافن، رسوب بخار شیمیایی و رشد همبافته است [۱۱]. با این حال این روش‌ها دارای نقص‌هایی مانند نیاز به انرژی زیاد، بازده پایین، هزینه بالا و آلودگی محیطی هستند که کاربردهای صنعتی آن‌ها را محدود می‌کند. به عنوان مثال، گرافن ایجاد شده با لایه‌برداری مکانیکی، رسانایی بسیار بالایی دارد اما از لحاظ اندازه کوچک بوده و دارای شکل نامنظم است.

روش القای لیزری گرافن یکی از روش‌هایی است که از سال ۲۰۱۴ برای ایجاد گرافن روی فیلم‌های نازک پلیمری ارائه شده است [۱۲]. لیزر مورد استفاده در این فرآیند لیزر گازکرینیک با طول موج $10/6 \mu\text{m}$ بود. در این روش فیلم‌های قابل انعطاف پلیمری شامل حلقه‌های کربنی به ویژه پلی‌ایمید با استفاده از لیزر و تحت شرایط ویژه مورد تابش قرار گرفته می‌شود. به این ترتیب در نواحی تابش دیده، لایه متخلخل گرافن ایجاد می‌شود که دارای ویژگی‌های منحصر به فرد برای ساخت الکترودهای مورد استفاده در حسگرها، ابرخازن‌ها و غیره است. این فرآیند امروزه جهت ساخت الکترودها در ابزارهای مختلف از جمله ابزارهای ذخیره انرژی و حسگرها بسیار مورد توجه است. این موضوع به دلیل سادگی و هزینه کم این فرآیند نسبت به سایر فرآیندها برای ایجاد الکترودهای گرافنی بوده و از زمان کشف این فرآیند مواد مختلفی از پارچه تا کاغذ برای این کار استفاده شده‌اند [۱۳ و ۱۴].



با توجه به فرآیندهای درگیر در القای لیزری گرافن، لیزرهایی با طول موج‌های متفاوت از مرئی و فرابنفش تا مادون قرمز توانایی ایجاد گرافن با فرآیند القای لیزری را دارند. با این حال کیفیت و روش ایجاد گرافن در آن‌ها می‌تواند تا حدودی متفاوت باشد. با این وجود، در اغلب گزارش‌های اعلام شده از لیزر CO_2 با طول موج $10/6 \mu\text{m}$ برای این فرآیند استفاده شده است. به همین منظور در این مقاله به بررسی ایجاد الکترودهای گرافنی روی پلیمر پلی‌ایمید با استفاده از تابش لیزر با طول موج مرئی 445 nm نانومتر پرداخته می‌شود. اثر کمیت‌های مختلف تابش‌دهی شامل توان لیزر، میزان همپوشانی خطوط تابش‌دهی شده و سرعت پایش لیزر در ایجاد گرافن روی نمونه پلی‌ایمید بررسی و بهینه شرایط تابش برای ایجاد الکترود مورد بررسی قرار می‌گیرد.

۲. چیدمان، مواد و روش آزمایش

برای ساخت الکترود از فیلم‌های پلی‌ایمید با ضخامت $60 \text{ }\mu\text{m}$ میکرون استفاده شده است. نمونه با استفاده از زیرلایه روی لام میکروسکوپ محکم شده و با استفاده از اتانول تمیز شد. سپس با استفاده از یک لیزر دیود با طول موج 445 nm که روی یک میز متجرک با توانایی جابه‌جایی در راستای X و Y قرار گرفته بود، با شرایط مختلف مورد تابش قرار داده شد. برای بررسی تاثیر کمیت‌های تابش‌دهی بر ویژگی‌های گرافن ایجاد شده، نمونه‌های مستطیل شکل با ابعاد $1 \times 3 \text{ cm}^2$ ، با استفاده از توان، سرعت و تعداد خط تابش‌دهی شده در هر اینچ از عرض نمونه (در راستای Y) که معیاری از میزان مختلف همپوشانی خطوط لیزر است، مورد تابش قرار گرفتند. همچنین با توجه به اینکه بسیاری از انواع حسگرها دارای ساختار سه الکترودی هستند، تعدادی از شرایط آزمایش برای هر دو ساختار (مستطیلی و سه الکترودی) مورد بررسی قرار گرفت. پس از تابش‌دهی نمونه‌ها نمونه‌ها جهت بررسی تغییرات شیمیایی و ریخت‌شناسی با استفاده از طیف‌سنجی رaman و میکروسکوپ الکترونی مورد بررسی قرار گرفتند. به منظور بررسی مقاومت الکتریکی الکترودهای ایجاد شده، مقاومت نمونه‌ها پس از تابش‌دهی با استفاده از یک مولتی‌متر اندازه‌گیری شد. بدین منظور پربوب‌های مولتی‌متر در نقاط مختلف سطح و با فاصله مشخص (حدود 1cm) قرار گرفته و مقاومت سطح ۵ بار در قسمت‌های مختلف سطح با خطای کمتر از 10° اهم اندازه‌گیری شدند.

۳. نتایج

جهت بررسی تاثیر کمیت‌های تابش‌دهی بر ویژگی‌های نمونه، نمونه‌ها با توان‌های مختلف لیزر $1/25$ ، $1/5$ ، $1/75$ و 2 وات، سرعت اسکن $8-15 \text{ mm/s}$ و میزان همپوشانی مختلف 200 و 220



۲۳۰ خط در اینچ مورد تابش قرار گرفتند. شکل (۱) تصاویر تعدادی از نمونه‌های تابش‌دهی شده برای ایجاد الکترود مستطیلی و ساختار سه الکترودی را نشان می‌دهد.

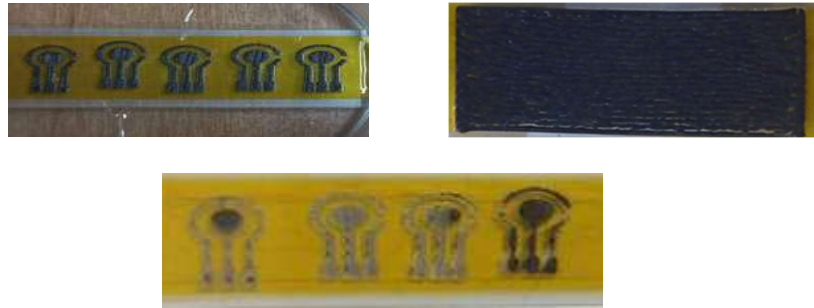


Fig. 1 Optical image of a rectangular electrode and three-electrode patterns created under different irradiation conditions.

شکل ۱ تصویر نوری از یک الکترود مستطیلی و الگوهای سه الکترودی ایجاد شده در شرایط مختلف تابش‌دهی.

همان‌طور که در تصویر مشخص است، سطوح تعدادی از نمونه‌ها بعد از تابش‌دهی کاملاً سیاه شده است. در حالی که سطح تعدادی از الگوها به صورت نایکنواخت دچار تغییراتی شده‌اند. میزان تغییرات ایجاد شده روی سطح نمونه به میزان زیادی به کمیت‌های تابش‌دهی به ویژه توان لیزر و سرعت پایش نمونه دارد. در توان‌های کمتر از ۱ وات، تابش لیزر در محدوده سرعت‌های پایش مورد استفاده در این آزمایش، تنها منجر به ذوب نمونه می‌شود. این توان در حقیقت توان آستانه برای ایجاد گرافن روی سطح نمونه است. با این حال باید بیان داشت که با افزایش سرعت پایش، توان آستانه بالاتری برای ایجاد گرافن نیاز است.

با افزایش توان لیزر و با ایجاد گرافن روی سطح نمونه، سطح شروع به سیاه شدن می‌کند. افزایش بیشتر توان لیزر بالاتر از یک حد مشخص که در این آزمایش حدود ۲ وات است منجر به تخریب سطح نمونه شده و ذرات کنده شده در اطراف نمونه پخش می‌شود.



برای بررسی تغییرات شیمیایی و ایجاد گرافن روی سطح نمونه، یک نمونه تابش دهی شده با مقاومت کم با طیف‌سنج رامان مورد بررسی قرار گرفت. شکل (۲) (الف و ب) به ترتیب طیف رامان و پراش پرتو ایکس گرفته شده از نمونه را نشان می‌دهد.

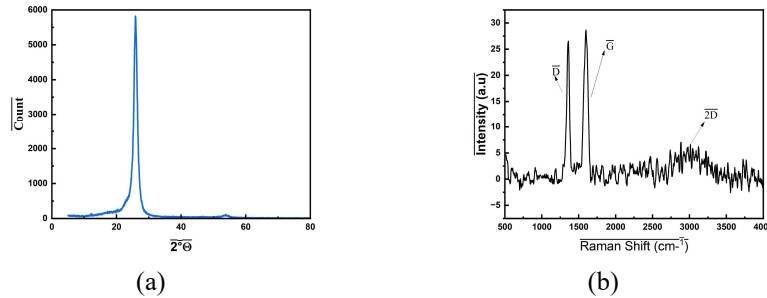


Fig. 2 (a) Raman spectrum, and (b) XRD spectrum taken from the sample irradiated at 1.75 W and scanning speed of 10 mm/s.

شکل ۲ (الف) طیف رامان و (ب) طیف XRD گرفته شده از نمونه تابش داده شده در توان ۱/۷۵ W و سرعت .۱۰ mm/s

همان‌طور که در طیف مشخص است، با تابش نمونه در توان ۱/۷۵ W قله گرافن در طول موج‌های حدود 1360 cm^{-1} , 1590 cm^{-1} و یک قله پهن حول 2900 cm^{-1} ، که به ترتیب مربوط به قله‌های D, G و $2D$ در گرافن هستند ایجاد می‌شود. بنابراین این طیف به روشنی ایجاد گرافن روی نمونه را نشان می‌دهد. نوار D بیانگر نقص ایجاد شده در نمونه و نوار $2D$ ، اطلاعاتی از تعداد لایه‌های گرافن می‌دهد. هرچند شدت نوار D نشان‌دهنده ایجاد نقص در نمونه است، اما پایین بودن نسبت شدت D به G نشان‌دهنده کیفیت مناسب گرافن ایجاد شده است. از طرفی پهن بودن قله $2D$ و نیز بیانگر ارتعاشات کششی پیوند SP^2 اتم‌های کربن است. همچنین همان‌طور که شکل (۲-ب) نشان می‌دهد، طیف XRD نمونه تابش داده شده دارای یک قله تیز در 25.8° و یک قله پهن با شدت پایین در حدود 53° است. قله اول مربوط به صفحات گرافن با شبکه بلوری $200\bar{2}$ و با فاصله تقریبی $\frac{3}{4}\text{ آنگستروم}$ و نشان‌دهنده درجه بالا گرافیت شدن نمونه، و پیک دوم در اثر ناخالصی‌های موجود در نمونه از جمله ذرات فیلم پلی‌ایمید است. از طرفی تقارن قله $200\bar{2}$ با دنباله در زوایای کمتر از 25.8° بیانگر افزایش فاصله لایه‌های گرافنی است که به دلیل پخششدن نقص در لایه‌های

شش ضلعی گرافن ایجاد شده است [۱۲]. اندازه بلوری در امتداد محور ۰۰۲ با استفاده از رابطه (۱) قابل محاسبه است:

$$L_{002} = \frac{0.89\lambda}{B_{1/2}(2\theta)\cos(\theta)} \quad (1)$$

که در آن، λ طول موج پرتو X آنگستروم و $B_{1/2}(2\theta)$ بر حسب رادیان، پهنهای قله ۰۰۲ در بیشینه موثر است [۱۲]. با استفاده از طیف XRD L_{002} حدود ۸ نانومتر بدست می‌آید. باید بیان داشت که طیف XRD نمونه‌های با مقاومت بالاتر (در اینجا نشان داده نشده است)، شامل قله‌هایی در محدوده $10-12 \text{ nm}$ که بیانگر ایجاد اکسید گرافن در نمونه است.

به منظور بررسی مقاومت الکتریکی الکترودهای ایجاد شده، مقاومت نمونه‌ها پس از تابش دهی با استفاده از مولتی متر اندازه گیری شد. شکل (۳) (الف و ب) به ترتیب نمودار تغییرات مقاومت نمونه بر حسب توان‌ها در همپوشانی‌های مختلف، و سرعت‌های پایش مختلف نشان می‌دهد:

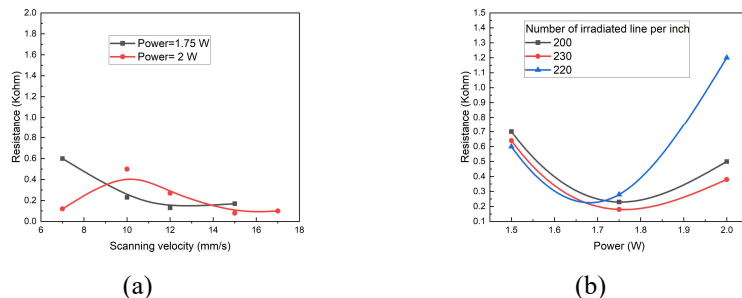


Fig. 3 Sample resistance in terms of (a) laser power for different number of lines per inch, and (b) scanning speed at two different laser powers.

شکل ۳ نمودار مقاومت نمونه‌ها بر حسب (الف) توان لیزر برای تعداد خط در اینچ متفاوت و (ب) سرعت پایش در دو توان مختلف.

فیلم پلی‌ایمید قبل از تابش دهی کاملاً نارسانا بوده و مقاومت آن بیش از ۹۰ مگا اهم بر سانتی متر مربع است. با تابش دهی نمونه با توان ۱ وات با میزان متفاوت از همپوشانی خطوط لیزر، تغییری در مقاومت نمونه ایجاد نمی‌شود. در حالی که با افزایش توان لیزر به ۱/۵ وات، مقاومت نمونه به شدت کاهش یافته و به حدود ۷۰۰ اهم می‌رسد. میزان این کاهش به میزان همپوشانی خطوط لیزری نیز بستگی داشته و با افزایش میزان همپوشانی بیشتر است. به صورتی که افزایش تعداد خطوط لیزر به میزان ۲۰ خط در اینچ، سبب کاهش ۱۰۰ اهمی در مقاومت نمونه می‌شود. افزایش بیشتر توان لیزر سبب کاهش بیشتر مقاومت و رسیدن آن به حدود ۲۳۰ اهم می‌شود. با افزایش میزان همپوشانی،



مقاومت ابتدا تا حدی افزایش و سپس کاهش می‌یابد. کاهش مقاومت با افزایش توان ادامه‌دار نبوده و با افزایش توان به ۲ وات مقاومت نمونه شروع به افزایش کرده و دوباره مقاومت نمونه با افزایش همپوشانی ابتدا افزایش و سپس کاهش می‌یابد. با این حال میزان تغییرات مقاومت در این توان بسیار بیشتر و حدود ۹۰۰ اهم است. این موضوع نشان‌دهنده اهمیت توان لیزر به عنوان کمیت اساسی در کاهش مقاومت نمونه می‌باشد.

از طرفی همان‌طور که در شکل(۳-ب) مشخص است، تغییرات مقاومت نمونه به سرعت پایش نیز بستگی دارد. هرچند در نگاه اول در توان‌های بالاتر می‌توان با سرعت‌های پایش بیشتر مقاومت نمونه را کاهش داد، با این‌حال این کاهش مقاومت با تغییرات سرعت در توان‌های مختلف رفتار یکسانی را از خود نشان نمی‌دهد. به عنوان مثال، همان‌طور که در نمودار مشخص است، در سرعت ثابت ۷ mm/s تابش نمونه با توان بالاتر منجر به کاهش مقاومت نمونه تا ۱۲۰ اهم شده است، درحالی که در توان حدود ۱۰٪ پایین‌تر مقاومت نمونه حدود ۶۰۰ اهم است. با افزایش سرعت مقاومت در نمونه تابش داده شده با توان W ۱/۷۵ کاهش می‌یابد، اما مقاومت نمونه تابش داده شده با توان کمتر افزایش می‌یابد. این روند تغییر مقاومت با سرعت پایش تا سرعت حدود ۱۴ mm/s ادامه داشته و در سرعت‌های بالاتر معکوس می‌شود. تفاوت مورفولوژی روی سطح در توان‌های مختلف و نیز افزایش توان آستانه مورد نیاز برای ایجاد گرافن روی سطح با افزایش سرعت پایش از دلایل این رفتار متفاوت است.

همان‌طور که اشاره شد، ریخت‌شناسی سطح الکترود یکی از کمیت‌های مهم در بکارگیری آن در کاربردهای مختلف به ویژه ابزارهای ذخیره انرژی است. به منظور بررسی ساختار ایجاد شده و تغییرات ریخت‌شناسی روی سطح نمونه بعد از تابش در توان‌های مختلف، تعدادی از نمونه‌های با مقاومت پایین با استفاده از میکروسکوپ الکترونی مورد بررسی قرار گرفتند. شکل (۴) تصاویر میکروسکوپ الکترونی نمونه‌های تابش داده شده در توان ۱/۵، ۱/۷۵ و ۲ وات را نشان می‌دهد.

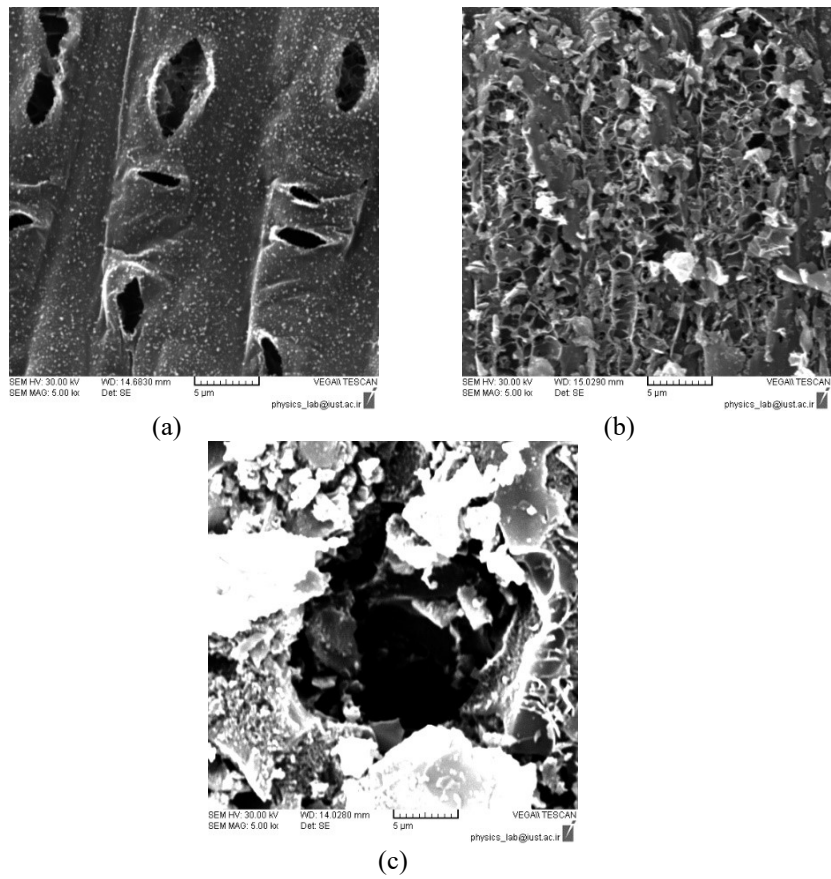


Fig. 4 Electron microscope images of samples irradiated at constant scanning speed and overlap, and laser power of (a) 1.5 W, (b) 1.75 W, and (c) 2 W.

شکل ۴ تصاویر میکروسکوپ الکترونی از نمونه‌های تابش داده شده در سرعت اسکن و همپوشانی ثابت و توان (الف) ۱/۵ وات، (ب) ۱/۷۵ وات و (ج) ۲ وات.

همان‌طور که از تصاویر مشخص است، در اثر تابش نمونه در توان ۱/۵ وات، مواد از سطح نمونه کنده شده و در اثر این کندگی ساختار لانه زنبوری در ابعاد زیر ۵ میکرون روی سطح نمونه ایجاد شده است. این ساختار کاملاً متخلخل بوده و به صورت کمایش یکنواخت روی سطح پخش شده است. با افزایش توان لیزر در ۱/۷۵ وات حفره‌های میکرونی با ابعاد ۱-۵ میکرون در نقاطی از سطح ایجاد شده و ذرات زیرمیکرونی در کل سطح دیده می‌شوند. ایجاد حفره‌های میکرونی روی سطح



نمونه می‌تواند ناشی آزاد شدن گاز حین شکستن و بازترکیب پیوندها در نمونه در اثر برهم کنش با لیزر باشد. به عبارت دیگر تابش لیزر سبب پیرولیز آنی پیش‌ساز و در نتیجه شکستن و ترکیب دوباره‌ی پیوندهای شیمیایی و آزاد شدن گاز می‌شود. افزایش بیشتر توان تا ۲ وات منجر به کندگی وسیع در سطح نمونه شده و در اثر این کندگی مواد کنده شده روی سطح نمونه پخش شده و ساختاری غیر یکنواخت روی نمونه ایجاد شده است.

۴. بحث

الکترودها از اجزای حیاتی در فرآیندهای الکتروشیمیایی بوده و ماهیت و عملکرد آن‌ها نقش اساسی در به کار گیری آن‌ها دارند. برخی از الکترودها مثل فولاد ضد زنگ و گرافیت سرب مدادی ارزان قیمت هستند، در حالی که برخی دیگر گران بوده و به ساختار پیچیده‌ای نیاز دارند. به همین دلیل ساخت الکترودهای ارزان قیمت بسیار مورد توجه پژوهشگران بوده است [۱۵]. از طرفی همان‌طور که در مقدمه بیان شد، امروزه الکترودهای گرافنی با توجه به مزایای زیاد بسیار مورد توجه قرار دارند. با این حال هزینه بالای تولید گرافن مانع از پیشرفت مناسب در این حوزه شده است. برهم-کنش لیزر با ماده به منظور ایجاد ویژگی‌های منحصر به فرد روی سطح نمونه از زمان ساخت لیزر بسیار مورد توجه بوده است و پژوهشگران بسیاری در این زمینه به بررسی نوع برهم کنش لیزر با ماده در رژیم‌های مختلف تابش پرداخته‌اند [۱۶-۱۹]. به صورت کلی برهم کنش لیزر با ماده منجر به دو فرآیند فتوحرارتی یا فتوشیمیایی و یا ترکیب هر دو فرآیند می‌شود. نوع این برهم کنش به ویژه به طول موج لیزر مورد استفاده و میزان جذب ماده مورد نظر در طول موج لیزر دارد. لیزرهای با طول موج کوتاه معمولاً از راه فرآیندهای فتوشیمیایی با نمونه برهم کنش می‌کنند، در حالی که فرآیند غالب در برهم کش ماده با طول موج‌های بلند در محدود مادون قرمز فرآیند حرارتی است. در فرآیند فتوشیمیایی برهم کنش لیزر با ماده به دلیل انرژی کافی فوتون، پیوندهای کوالانسی به صورت مستقیم شکسته می‌شوند. اما در فرآیندهای حرارتی، برهم کش لیزر از راه افزایش ارتعاشات در پیوندها با انتقال حرارت منجر به شکستن پیوند می‌شود. افزایش دما در برهم کنش‌های حرارتی در طول موج مادون قرمز بسیار زیاد بوده و دما در این فرآیند به صورت محلی و جایگزینه تا چند هزار درجه سانتی گراد افزایش می‌یابد. این افزایش دما برای شکستن پیوندهای کربنی موجود در پلی‌ایمید کافی بوده و به آسانی منجر به شکستن آن‌ها می‌شود [۲۰]. حين فرآیند القای لیزری گرافن در اثر برهم کنش فیلم پلی‌ایمید با لیزر، بسیاری از پیوندهای $C=O$ ، $C-O$ و $N=C$ در پلی‌ایمید شکسته شده و بعد از بازترکیب به صورت گاز آزاد شده و نانوصفحات گرافن متخلخل با ساختار

شبکه‌های هفت‌ضلعی و شش‌ضلعی مشکل از بیش از ۸۵ درصد کربن تولید می‌کنند [۱۱، ۹]. بازتر کیب این پیوندها منجر به تشکیل و ایجاد ساختار گرافنی می‌شود. با این حال سازوکار تشکیل گرافن القا شده با لیزر (LIG) با توجه به طول موج لیزر مورد استفاده متفاوت است. در مورد تابش لیزر مادون قرمز، اثر فتوحرارتی برای توضیح انتقال انرژی پیشنهاد شده است. از سوی دیگر، لیزر ماوراء بنفسش به احتمال زیاد سبب ایجاد یک فرآیند فتوشیمیایی می‌شود. در مورد لیزر مرئی که در این آزمایش از آن استفاده شده است، هر دو اثر فتوحرارتی و فتوشیمیایی به تشکیل LIG کمک می‌کنند. به عبارت دیگر با تابش لیزر پالسی، اتم‌های کربن SP^3 روی پلی‌ایمید به صورت فتوحرارتی و به میزان کمتر فتوشیمیایی به اتم‌های کربن SP^2 تبدیل می‌شوند.

صرف نظر از طول موج لیزر مورد استفاده برای ایجاد گرافن روی نمونه، کمیت‌های تابش‌دهی شامل توان لیزر، سرعت پایش لیزر یا نمونه و میزان همپوشانی خطوط تابش‌دهی شده تاثیر زیادی روی کیفیت و میزان گرافن ایجاد شده روی نمونه و درنتیجه عملکرد الکترودهای ایجاد شده دارند. بنابراین با توجه به امکان تغییر و تنظیم کمیت‌های تابش‌دهی در فرآیند القا لیزری گرافن، کنترل ویژگی‌های سطح الکترود فرآیندی ممکن و قابل توجه است. در این پژوهش کمینه مقاومت بدست آمده با تنظیم کمیت‌های تابش‌دهی حدود ۸۰ اهم است که مربوط به نمونه تابش‌داده شده در توان W ۲ با سرعت 15 mm/s و تعداد 200 خط در هر اینچ از عرض نمونه می‌باشد. این مقاومت برای استفاده از الکترود در ابزارهای ذخیره انرژی و حسگرها مناسب بوده و هزینه تولید بسیار کمی دارد. از طرفی نتایج این پژوهش نشان می‌دهد که تغییرات ریخت‌شناصی سطح الکترود که کمیت مهم دیگری در عملکرد الکترود است، می‌تواند رفتار متفاوتی با تغییرات مقاومت الکتریکی در شرایط مختلف تابش‌دهی داشته باشد. با توجه به نتایج بدست آمده از تصاویر میکروسکوپ الکترونی در شکل (۴) و مقایسه میزان مقاومت بدست آمده برای نمونه‌های تابش‌داده شده در توانهای مختلف و با سرعت اسکن و همپوشانی یکسان (به ترتیب 10 mm/s و 200 خط در اینچ)، سطح نمونه تابش داده شده با توان $W = 1/5$ و $W = 2$ نسبت به نمونه تابش‌داده شده در توان $W = 1/75$ دارای ساختار متخلخل متفاوت و با وسعت بیشتری است. همچنین تخلخل ایجاد شده در نمونه تابش‌داده شده در توان $W = 1/5$ بسیار یکنواخت‌تر از نمونه تابش‌داده شده در توان $W = 2$ و مقاومت نمونه تابش داده شده با توان $W = 1/75$ وات از دو نمونه دیگر کمتر است. این تغییرات تاثیر زیادی روی عملکرد الکترود داشته و بنابراین انتخاب شرایط تابش‌دهی و همچنین رقابت بین این دو کمیت با توجه به کاربرد مورد نظر بسیار مهم خواهد بود.



۵. نتیجه‌گیری

در این مقاله الکترودهای گرافنی با استفاده از فرآیند القای لیزری گرافن با استفاده از لیزر nm ۴۴۵ روی فیلم پلیمر پلی‌ایمید ایجاد شد. در این فرآیند فیلم پلی‌ایمید با استفاده از لیزر در شرایط مختلف، تابش دهی و مورد بررسی قرار گرفت. کمینه مقاومت بدست آمده با تغییر توان، میزان همپوشانی خطوط تابش دهی (تعداد خط در هر اینچ از مساحت ثابتی از نمونه) و سرعت پایش، ۸۰ اهم است. با این حال نتایج نشان می‌دهد که تغییرات ریخت‌شناسی سطح نمونه و به عبارت دیگر افزایش سطح موثر ایجاد شده روی الکترود در اثر ایجاد ساختار متخلخل لزوماً با کاهش مقاومت در یک راستا نیستند. بنابراین لزوم بررسی و بهینه‌سازی هر کدام از این عوامل برای کاربرد مورد نظر ضروری است.

۶. تقدیر و تشکر

برخود لازم می‌دانیم از زحمات و همکاری جناب آقای محسن منتظرالقائم در انجام آزمایش‌ها سپاسگزاری کنیم.

منابع

- [1] Li, X., Yu, J., Wageh, S., Al-Ghamdi, A.A. and Xie, J., "Graphene in photocatalysis: a review," *Small*, 12(48), 6640-6696, 2016. <https://doi.org/10.1002/smll.201600382>.
- [2] Stoller, M.D., Park, S., Zhu, Y., An, J. and Ruoff, R.S., "Graphene-based ultracapacitors," *Nano letters*, 8(10), 3498-3502, 2008. <https://doi.org/10.1021/nl802558y>.
- [3] Berry, V., "Impermeability of graphene and its applications," *Carbon*, 62, 1-10, 2013. <https://doi.org/10.1016/j.carbon.2013.05.052>.
- [4] Zhang, Z., Zhu, H., Zhang, W., Zhang, Z., Lu, J., Xu, K., Liu, Y., and Saetang, V., "A review of laser-induced graphene: From experimental and theoretical fabrication processes to emerging applications," *Carbon*, 214, 118356, 2023. <https://doi.org/10.1016/j.carbon.2023.118356>.
- [5] Avinash, K. and Patolsky, F., "Laser-induced graphene structures: From synthesis and applications to future prospects," *Materials Today*, 70, 104-136, 2023. <https://doi.org/10.1016/j.mattod.2023.10.009>.
- [6] Thaweeskulchai, T., Sakdaphetsiri, K., and Schulte, A., "Ten years of laser-induced graphene: Impact and future prospect on biomedical, healthcare, and wearable technology," *Microchimica Acta*, 191, 292, 2024. <https://doi.org/10.1007/s00604-024-06350-z>.
- [7] Tan, R. K. L., Reeves, S. P., Hashemi, N., Thomas, D. G., Kavak, E., Montazami, R., and Hashemi, N. N", Graphene as a flexible electrode: review of fabrication approaches,"



Journal of Materials Chemistry A, 5, 17777-17803, 2017.
<https://doi.org/10.1039/C7TA05759H>.

- [8] Burke, M., Larrigy, C., Vaughan, E., Paterakis, G., Sygellou, L., Quinn, A. J., Herzog, G. g., Galiotis, C., and Iacopino, D., "Fabrication and electrochemical properties of three-dimensional (3D) porous graphitic and graphenelike electrodes obtained by low-cost direct laser writing methods," *ACS omega*, 5, 1540-1548, 2020. <https://doi/full/10.1021/acsomega.9b03418>.
- [9] Yoon, H., Nah, J., Kim, H., Ko, S., Sharifuzzaman, M., Barman, S. C., Xuan, X., Kim, J., and Park, J. Y., "A chemically modified laser-induced porous graphene based flexible and ultrasensitive electrochemical biosensor for sweat glucose detection," *Sensors and Actuators B: Chemical*, 311, 127866, 2020. <https://doi.org/10.1016/j.snb.2020.127866>.
- [10] Raccichini, R., Varzi, A., Wei, D., and Passerini, S., "Critical insight into the relentless progression toward graphene and graphene-containing materials for lithium-ion battery anodes," *Advanced materials*, 29(11), 1603421, 2017. <https://doi.org/10.1002/adma.201603421>.
- [11] Wang, L., Wang, Z., Bakhtiyari, A. N., and Zheng, H., "A comparative study of laser-induced graphene by CO₂ infrared laser and 355 nm ultraviolet (UV) laser," *Micromachines*, 11(12), 1094, 2020. <https://doi.org/10.3390/mi11121094>.
- [12] Lin, J., Peng, Z., Liu, Y., Ruiz-Zepeda, F., Ye, R., Samuel, E. L., Yacaman, M. J., Yakobson, B. I., and Tour, J. M., "Laser-induced porous graphene films from commercial polymers," *Nature communications*, 5(1), 5714, 2014. <https://doi.org/10.1038/ncomms6714>.
- [13] Chyan, Y., Cohen, J., Wang, W., Zhang, C., and Tour, J. M., "Graphene Art," *ACS Applied Nano Materials*, 2(5), 3007-3011, 2019. <https://doi/abs/10.1021/acsanm.9b00391>.
- [14] Han, X., Ye, R., Chyan, Y., Wang, T., Zhang, C., Shi, L., Zhang, T., Zhao, Y., and Tour, J. M., "Laser-Induced Graphene from Wood Impregnated with Metal Salts and Use in Electrocatalysis," *ACS Applied Nano Materials*, 1(9), 5053-5061, 2018. <https://doi/abs/10.1021/acsanm.8b01163>.
- [15] Shokurov, A. V. and Menon, C", "Laser-Induced Graphene Electrodes for Electrochemistry Education and Research," ed: ACS Publications, 2023. <https://doi.org/10.1021/acs.jchemed.2c01237>.
- [16] Mulser, P. and Bauer, D., "High power laser-matter interaction", *Springer Science & Business Media*, 238, 2010. 10.1007/978-3-540-46065-7.
- [17] Yin, J., Yang, L., Yang, X., Zhu, H., Wang, D., Ke, L., Wang, Z., Wang, G., and Zeng, X., "High-power laser-matter interaction during laser powder bed fusion," *Additive Manufacturing*, 29, 100778, 2019. <https://doi.org/10.1016/j.addma.2019.100778>.
- [18] Kumar, A., Pathak, A., Kumar, A., and Kumar, A., "Physics of laser-matter interaction in laser-based manufacturing," in *Laser-based technologies for sustainable manufacturing*, ed: CRC Press, 45-54, 2023 .
- [19] Malik, H. K., *Laser-matter interaction for radiation and energy*: CRC press, 2021. <https://doi.org/10.1201/b21799>.
- [20] Dreyfus, R., "CN temperatures above laser ablated polyimide," *Applied Physics A*, 55, 335-339, 1992. <https://doi.org/10.1007/BF00324081>.



This article is an open-access article distributed under the terms and conditions of the Creative Commons Attribution-Noncommercial 4.0 International (CC BY-NC 4.0 license) (<http://creativecommons.org/licenses/by-nc/4.0/>).

